

## مدل‌سازی تاثیرات پسروی دریاچه ارومیه بر روستاهای ساحل شرقی دریاچه ارومیه با پردازش شیء‌گرای تصاویر ماهواره‌ای

میثم محرومی<sup>۱</sup>، کارشناس ارشد سنجش از دور و GIS، دانشگاه تبریز، ایران.

علی‌اکبر رسوی، استاد سنجش از دور و GIS، دانشگاه تبریز، ایران.

هاشم رستم زاده، استادیار آب و هواشناسی، دانشگاه تبریز، ایران.

پذیرش نهایی: ۱۳۹۵/۰۶/۲۳

دریافت مقاله: ۱۳۹۴/۱۱/۲۲

### چکیده

بررسی نوسانات سطح آب دریاچه‌ها به لحاظ اهمیت، ماهیت و موقعیت این مجموعه‌های آبی در سال‌های اخیر اهمیت ویژه‌ای پیدا کرده است. دریاچه ارومیه بزرگترین دریاچه داخلی ایران می‌باشد. متاسفانه در سال‌های اخیر به دلایل مختلف، از حجم آب و وسعت این دریاچه کاسته شده است. هدف از این پژوهش، مدل‌سازی تاثیرات پسروی دریاچه ارومیه بر روستاهای ساحل شرقی با پردازش شیء‌گرای تصاویر ماهواره‌ای می‌باشد. در این پژوهش از تصاویر ماهواره‌ای لندست بین سال‌های ۱۹۸۴ تا ۲۰۱۵ میلادی به صورت دوره‌ای، مدل رقومی ارتفاع و لایه وکتور موقعیت روستاهای استفاده شده است. جهت پردازش تصاویر ماهواره‌ای از روش‌های شیء‌گرا استفاده شده و کاربری‌های مورد نظر استخراج گردیدند، در ادامه نیز با استفاده از مدل زنجیره مارکوف به پیش‌بینی وضعیت آتی در منطقه پرداخته شده است. نتایج نشان دهنده افزایش سطح باغات، نمک‌های مرطوب، پهنه‌های گلی-نمکی (خاک‌های نمکی)، اراضی کشاورزی، نمک جدید و کاهش مساحت دریاچه ارومیه طی بازه مورد مطالعه می‌باشد. نتایج مدل پیش‌بینی زنجیره مارکوف نشان می‌دهد در سال ۲۰۲۰ میلادی کاربری باغات، پهنه‌های گلی-نمکی (خاک‌های نمکی) و اراضی کشاورزی افزایش خواهد یافت و کاربری نمک مرطوب، نمک جدید و دریاچه ارومیه کاهش خواهد یافت، همچنین روستاهای شهرستان شبستر بیشترین افزایش در باغات، اراضی کشاورزی، نمک جدید و پهنه‌های گلی-نمکی (خاک‌های نمکی) را به ترتیب با  $13/4$ ،  $2/7$ ،  $0/69$  و  $10/6$  درصد افزایش خواهند داشت. و روستاهای شهرستان اسکو بیشترین افزایش در نمک‌های مرطوب را با  $7/0$  درصد افزایش خواهند داشت.

واژگان کلیدی: تغییرات محیطی، پردازش شیء‌گرای، دریاچه ارومیه، روستاهای ساحل شرقی، زنجیره مارکوف

## مقدمه

دریاچه ارومیه به عنوان بزرگترین دریاچه داخلی ایران و بیستمین دریاچه جهان از اهمیت ویژه‌ای برخوردار است (رسولی و عباسیان، ۱۳۸۶). و به عنوان یکی از مهمترین زیستگاه‌های طبیعی در سطح منطقه مطرح بوده و به عنوان مناسب‌ترین محیط‌زیست برای میگوی آرتیمیا محسوب می‌شود (رسولی و همکاران، ۱۳۸۷). دریاچه ارومیه یک دریاچه تکتونیکی است که در یک حوزه بسته قرار گرفته است (شاپیان و جنتی، ۱۳۸۶). این دریاچه در سطح ملی یک پارک ملی محسوب شده و در سطح بین المللی در فهرست یونسکو به ثبت رسیده است (آل‌شیخ و همکاران، ۱۳۸۴). دریاچه ارومیه طی سال‌های گذشته بر اثر یک دوره خشکسالی و طرح‌های احداث سد که همزمان به وقوع پیوسته‌اند، زمینه تغییر بیش از پیش آب دریاچه فراهم گردیده و تفاوت‌های قابل توجهی در سطوح آب دریاچه به وجود آمده است (زمانی‌اکبری و ملکی، ۱۳۸۹). نتایج تحقیقات در مورد انتشار ذرات نمک از دریاچه ارومیه به محیط پیرامون نشان می‌دهد که این جریانات جنوب‌غربی و جنوبی می‌باشد (پوراصغر و همکاران، ۱۳۹۱). یکی از ابزارهای مفید در زمینه مطالعات محیط‌زیست و علوم زمین استفاده از فناوری دورستنجی است، طبقه‌بندی تصاویر ماهواره‌ای بر اساس اطلاعات طیفی دارای محدودیت‌هایی است بنابراین برای افزایش دقت طبقه‌بندی باید از منابع اطلاعاتی دیگری استفاده شود (Chen et al, ۲۰۰۹). در میان روش‌های پردازش تصویر به منظور استخراج اطلاعات از تصاویر ماهواره‌ای، پردازش شیء گرای تصاویر به علت استفاده از اطلاعات طیفی و اطلاعات مربوط به بافت و محتوا در فرآیند طبقه‌بندی از دقت بالاتری برخوردار است (Yan, ۲۰۰۳). به صورت تئوری قسمت معینی از زمین ممکن است در هر زمان از یک گروه کاربری زمین به هر گروه دیگر تبدیل شود، تحلیل زنجیره مارکوف یک ابزار مفید برای مدل‌سازی تغییرات کاربری اراضی، مخصوصاً زمانی که تشریح تغییرات در چشم انداز مشکل باشد می‌باشد (Benito et al, ۲۰۱۰).

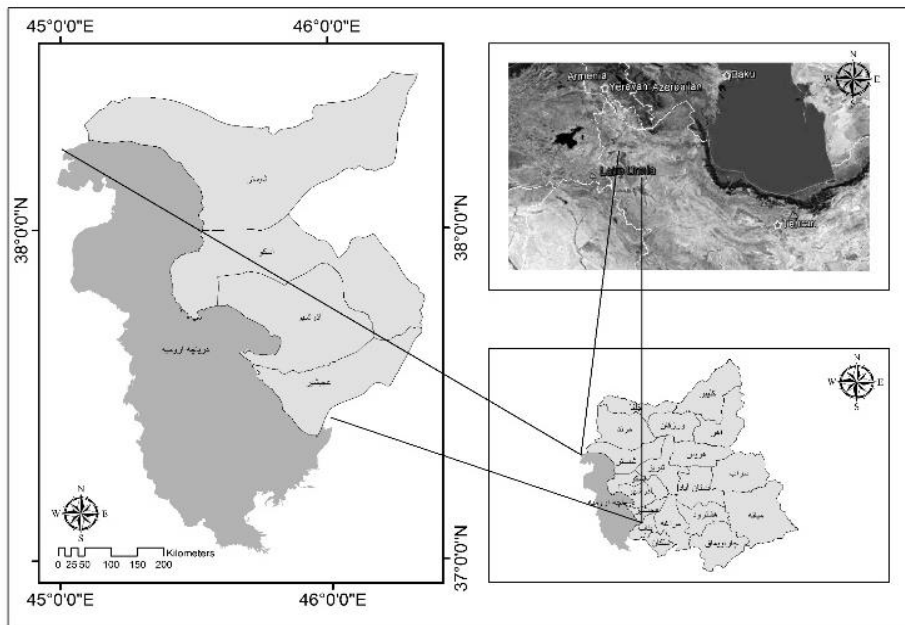
رسولی و عباسیان (۱۳۸۶) به تحلیل تراز آب دریاچه ارومیه پرداختند نتایج این تحقیق نشان دهنده تغییرات و نوسانات معنی‌داری در تراز سطح آب دریاچه ارومیه می‌باشد. رسولی و همکاران (۱۳۸۷) به پایش نوسانات سطح آب دریاچه ارومیه با پردازش تصاویر ماهواره‌ای بین سال‌های ۱۹۷۶ تا ۲۰۰۵ میلادی پرداختند. نتایج نشان دهنده کاهش ۲۳ درصدی سطوح آب دریاچه در طی دوره مورد مطالعه می‌باشد. فیضی‌زاده و همکاران (۱۳۸۹) به طبقه‌بندی پوشش اراضی و کاربری اراضی استان آذربایجان غربی با تکنیک‌های پردازش شیء گرا پرداختند. نتایج نشان دهنده دقت بالای طبقه‌بندی شیء گرای تصاویر ماهواره‌ای می‌باشد. اکبری‌مهرین و کرمی (۱۳۹۲) به بررسی تغییرات سطح دریاچه ارومیه با استفاده از شبکه‌های عصبی مصنوعی پرداختند. نتایج تحقیق نشان دهنده کاهش آب به خصوص در نواحی شرقی و جنوب‌شرقی دریاچه می‌باشد. ضیائیان فیروزان‌آبادی و همکاران (۱۳۹۳) به ارزیابی تغییرات سطح آب و شوری جنوب‌شرق دریاچه ارومیه طی سال‌های ۱۹۸۴ تا ۲۰۰۴ میلادی پرداختند. نتایج این تحقیق نشان دهنده کاهش سطح آب دریاچه و بالا رفتن شوری آب دریاچه است. آل‌شیخ و همکاران (۲۰۰۷) به بررسی تغییرات خطوط ساحلی دریاچه ارومیه در های ۱۹۹۸ تا ۲۰۰۱ میلادی پرداختند، نتایج نشان دهنده کاهش ۱۰۴۰ کیلومتر مربعی خطوط ساحلی دریاچه ارومیه در این دوره می‌باشد. فیضی‌زاده و همکاران (۲۰۱۴) به بررسی الگوریتم‌های مختلف فازی جهت پردازش شیء گرای تصاویر ماهواره‌ای پرداختند، نتایج نشان دهنده دقت بالای الگوریتم‌های فازی در پردازش شیء گرای تصاویر ماهواره‌ای می‌باشد.

پنتیوس و مالانسن (Pontius and Malanson, ۲۰۰۵) به مقایسه مدل‌های CA-Markov<sup>۱</sup> و Geomod با استفاده از مدل CA-Markov<sup>۱</sup> بینی هر یک در تغییرات پوشش زمین ماساچوست مرکزی آمریکا پرداختند. کاموسوکو و همکاران (Kamusoko et al, ۲۰۰۹) با استفاده از مدل CA-Markov<sup>۱</sup> تغییرات پوشش/کاربری زمین را در مناطق روستایی واقع در شمال شرقی ایالت مرکزی ماشونالند کشور زیمبابوه را شبیه‌سازی نمودند. پترسن و همکاران (Peterson et al, ۲۰۰۹) با استفاده از مدل‌های رگرسیون لجستیک و CA-Markov<sup>۱</sup> به بررسی روند و الگوهای تغییرات پوشش جنگلی جهت مدیریت جنگلها در ناحیه دریاچه بایکال در جنوب سیبری پرداختند. در نهایت نتیجه گرفتند که برخی انواع درختان که روند توسعه‌شان با نرخ کاهش شدیدی پیش-بینی شده است، نیازمند مدیریت صحیح و پایدار جنگلداری می‌باشند. واساهوا (Wassahua, ۲۰۱۰) با استفاده از مدل CA-Markov<sup>۱</sup> به پیش‌بینی تغییرات پوشش جنگلی کشور اندونزی پرداخت. این محقق تغییرات مکانی و زمانی پوشش جنگل را با دقت کلی ۶۸/۵ درصد پیش‌بینی نمود. پژوهش‌های پیشین، نشان دهنده اهمیت دریاچه ارومیه به عنوان یکی از مهمترین زیستگاه‌های طبیعی در سطح منطقه می‌باشد که متساقنه در سال‌های اخیر از حجم و وسعت آن کاسته شده است، فناوری سنجش از دور و تکنیک‌های پردازش تصاویر ماهواره‌ای به عنوان یکی از روش‌های مربوط به مطالعات محیطی از جمله در بحث مربوط به تغییرات دریاچه ارومیه به کار گرفته شده است. تکنیک‌های پردازش شیء گرای تصاویر ماهواره‌ای به عنوان یکی از روش‌های مدرن پردازش تصاویر ماهواره‌ای در سال‌های اخیر برای موضوعات مختلف طبقه‌بندی کاربری اراضی به کار گرفته شده است، همچنین به منظور مدل‌سازی برای پیش‌بینی شرایط آتی پوشش زمین، مدل پیش‌بینی زنجیره مارکوف برای موضوعات مختلف مربوط به پوشش زمین به کار رفته است. با توجه به مطالب فوق، هدف از این پژوهش بررسی تغییرات رخ داده در وسعت دریاچه ارومیه و کاربری‌های ساحل شرقی آن طی سال‌های ۱۹۸۴ تا ۲۰۱۵ میلادی با استفاده از روش‌های شیء گرای پردازش تصاویر ماهواره‌ای و همچنین مدل‌سازی و پیش‌بینی شرایط آتی با استفاده از مدل زنجیره مارکوف و در نهایت مدل‌سازی این تاثیرات بر روزتاهای ساحل شرقی دریاچه ارومیه می‌باشد.

## داده‌ها و روش کار

همانطور که در شکل شماره ۱ مشاهده می‌شود، منطقه مورد مطالعه، ساحل شرقی دریاچه ارومیه می‌باشد و از نظر جغرافیایی، بین ۳۷ درجه و ۲۲ دقیقه تا ۳۸ درجه و ۲۸ دقیقه عرض شمالی و ۴۵ درجه و ۵ دقیقه تا ۴۶ درجه و ۲۱ دقیقه طول شرقی از نصف النهار گرینویچ قرار گرفته است. ارتفاع منطقه مورد مطالعه از ۱۲۶۰ متر از سطح دریا در مناطق شرقی دریاچه ارومیه تا ۳۴۶۰ متر از سطح دریا در مناطق جنوب شرقی نزدیک به کوه سهند متغیر می‌باشد.

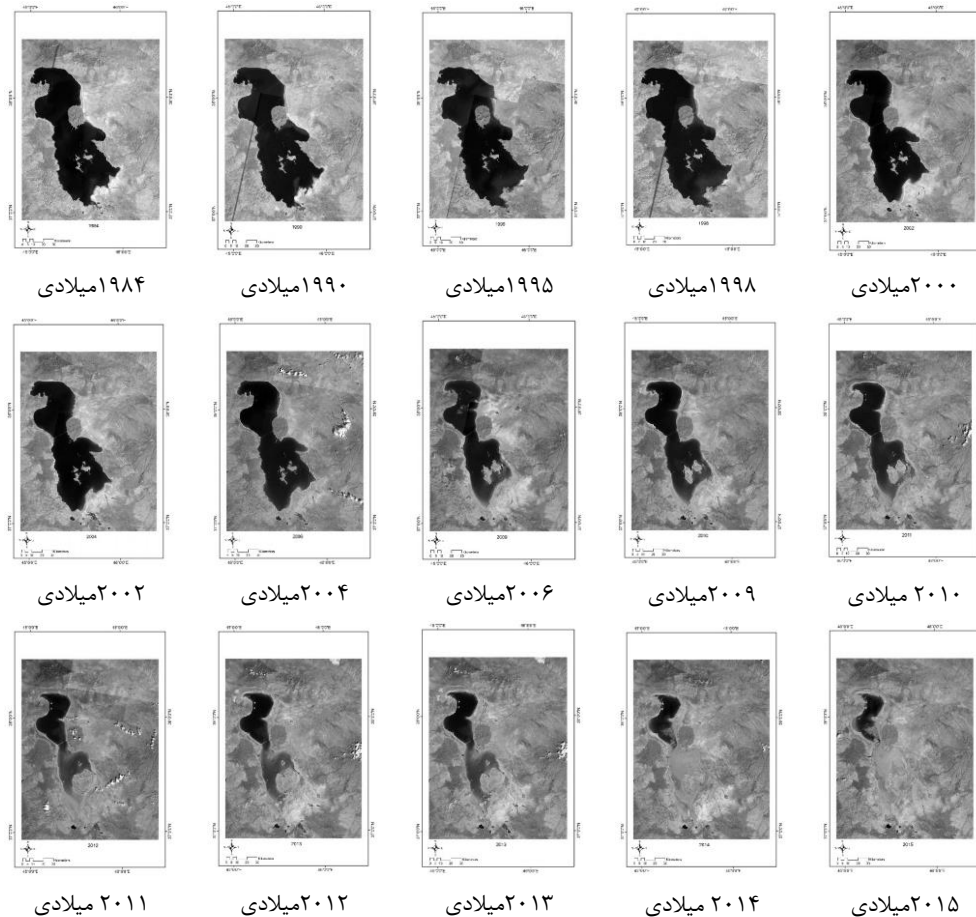
<sup>۱</sup>- Cellular Automata Markov



شکل ۱: نقشه منطقه مورد مطالعه

تصاویر ماهواره‌ای مورد استفاده در این تحقیق شامل تصاویر ماهواره‌ای لندست ۵,۷,۸ ردیف ۳۳ و ۳۴ و گذر ۱۶۸ و ۱۶۹ می‌باشد، همچنین از مدل رقومی ارتفاعی (DEM<sup>۱</sup>) مربوط به سنجنده ASTER و لایه وکتور موقعیت شهرستان‌ها، دهستان‌ها و روستاهای منطقه مطالعه نیز در این تحقیق استفاده شده است و به منظور ارزیابی دقت طبقه‌بندی داده‌های به دست آمده از GPS مدل Vista Garmin طی عملیات میدانی مورد استفاده قرار گرفته است. در طی مراحل آماده‌سازی و تجزیه و تحلیل داده‌های پژوهش حاضر از نرم‌افزارهای ERDAS IMAGINE ۲۰۱۴, eCognition ۸.۷, ArcGIS ۱۰.۳, IDRISI Selva ۱۷ استفاده شده است. در شکل شماره ۲ مجموعه تصاویر منطقه مورد مطالعه نشان داده شده است.

<sup>۱</sup>- Digital Elevation Model



شکل ۲: تصاویر ماهواره‌ای دریاچه ارومیه طی سال‌های گذشته

به طور کلی، تصحیح‌های رادیومتریک زمانی انجام می‌شود که داده‌های تصویری در روند ثبت مقادیر روشنایی مربوط به پیکسل‌ها دارای خطاهایی باشند که می‌تواند ناشی از عواملی نظیر عدم کارایی تجهیزات ثبات و تاثیرهای اتمسفری باشد. (رسولی، ۱۳۸۷: ۱۳۰). تصحیح رادیومتریک در تصاویر لندست ۵,۷,۸ از طریق تبدیل Reflectance DN به در باندهای انعکاسی در محیط نرم‌افزار ERDAS IMAGINE ۲۰۱۴ انجام شد.

طبقه‌بندی تصاویر ماهواره‌ای بر اساس اطلاعات طیفی دارای محدودیت‌هایی است بنابراین برای افزایش دقت طبقه-بندي باید از منابع اطلاعاتی دیگری استفاده شود (Chen et al, ۲۰۰۹). برای این منظور در این پژوهش از پردازش شیء گرای تصاویر ماهواره‌ای استفاده شده. در این روش تصویر بر اساس پارامترهای طیفی، فیزیکی و هندسی پدیده‌های زمینی ثبت شده بر روی تصویر، سگمنت‌سازی شده و واحدهای پردازش تصاویر از پیکسل به پدیده‌های تصویری یا سگمنت‌ها تغییر می‌یابد و در نتیجه آن با پردازش جامع‌تر این اطلاعات، اشیا و پدیده‌های دنیای واقعی را با دقت بالاتری می‌توان استخراج نمود. فرآیند این نوع از تحلیل تصاویر، در سه بخش قابل تقسیم است که عبارتند از: سگمنت‌سازی، طبقه‌بندی فازی و ارزیابی صحت.

سگمنت‌سازی<sup>۱</sup> اولین و مهمترین مرحله، در ریز طبقه‌بندی تصویر به واحدهای تصویری مجزا می‌باشد (Huang and NI, ۲۰۰۸). سگمنت به معنی گروهی از پیکسل‌های همسایه در داخل یک ناحیه است که شباهت (نظیر ارزش عددی و بافت) مهمترین معیار مشترک آنها است (فیضی‌زاده، ۱۳۸۶: ۱۰۳-۹۷). برای سگمنت‌سازی از الگوریتم Multiresolution Segmentation استفاده شد، این الگوریتم با به حداقل رساندن میانگین مکانی ناهمگنی‌ها در تصویر اقدام به ایجاد سگمنت‌ها می‌کند. پارامترهای به کار رفته در سگمنت‌سازی در جدول شماره ۱ نشان داده شده است.

جدول ۱: پارامترهای به کار رفته جهت سگمنت‌سازی تصاویر ماهواره‌ای لندست ۵.۷.۸

آستانه به کار رفته	ماهواره	پارامتر	آستانه به کار رفته	ماهواره	پارامتر
۱۰۰	$\frac{1}{\sqrt{2}}$	مقیاس	۱۰۰	$\frac{1}{\sqrt{2}}$	مقیاس
۰/۲		ضریب شکل	۰/۲		ضریب شکل
۰/۴		ضریب فشردگی	۰/۴		ضریب فشردگی
باند ۱=۲ باند ۱=۳ باند ۱=۴ باند ۱=۵ باند ۱=۶ باند ۱=۷		ترکیب وزنی باندی	باند ۱=۱ باند ۲=۱ باند ۳=۱ باند ۴=۱ باند ۵=۱ باند ۶=۱ باند ۷=۱		ترکیب وزنی باندی

طبقه‌بندی فازی در محیط نرم‌افزار eCognition ۸.۷ متناسب با شرایطی است که مفسر برای هر کلاس تعیین می‌کند. در تعریف شرایط طبقه‌بندی مفسر می‌تواند از پارامترهای طیفی و بصری (شامل بافت، شکل و تن رنگ) استفاده کند، این شرایط به وسیله توابعی که برای کلاس‌ها بیان می‌گردد، تعریف می‌شود که می‌تواند به صورت تابع عضویت، شبیه‌سازی کلاس‌ها یا نزدیک‌ترین همسایه باشد. در طی فرآیند پردازش تصویر، می‌توان از عملگرهای منطق فازی شامل Or عملگری با حداکثر ارزش بازگشتی از ارزش فازی، و And عملگر بازگشتی به عنوان حاصل ضربی از ارزش فازی استفاده نموده و شرایط مناسب برای طبقه‌بندی را تعریف نمود.

شاخص‌های به کار رفته جهت طبقه‌بندی تصاویر ماهواره‌ای در جدول شماره ۲ آورده شده است همچنین کلاس‌های مورد نظر جهت طبقه‌بندی عبارت است از: باغ، زمین کشاورزی، آب، نمک مرتکوب، پنهنه‌های گلی-نمکی(خاک‌های نمکی) و نمک جدید.

جدول ۲: شاخص‌های به کار رفته جهت طبقه‌بندی تصاویر ماهواره‌ای

فرمول	شاخص	فرمول	شاخص
$BI = \sqrt{Red^{\gamma} + NIR^{\gamma}}$	$BI^{\gamma}$	$NDVI = \frac{NIR - Red}{NIR + Red}$	$NDVI^{\gamma}$
$SI^{\alpha} = \sqrt{Green^{\alpha} + Red^{\alpha}}$	$SI^{\alpha^{\circ}}$	$SI = \sqrt{Blue \times Red}$	$SI^{\alpha}$
$SI^{\delta} = \frac{Blue \times Red}{Green}$	$SI^{\delta^{\gamma}}$	$SI^{\epsilon} = \frac{Red \times NIR}{Green}$	$SI^{\epsilon^{\gamma}}$
		$SI^{\lambda} = \sqrt{Green \times Red}$	$SI^{\lambda^{\gamma}}$

منبع: (علوی‌پناه، ۱۳۹۰: ۳۵۲؛ ۲۰۱۴)

<sup>۱</sup>- Segmentation

<sup>۲</sup>- Normalized Difference Vegetation Index

<sup>۳</sup>- Brightness Index

<sup>۴</sup>- Salinity Index

<sup>۵</sup>- Salinity Index <sup>۳</sup>

<sup>۶</sup>- Salinity Index <sup>۶</sup>

<sup>۷</sup>- Salinity Index <sup>۵</sup>

<sup>۸</sup>- Salinity Index <sup>۱</sup>

از چند پارامتر از پیش تعریف شده در نرم‌افزار eCognition ۸.۷ نیز در طبقه‌بندی استفاده شد که عبارت است از: Slope و Rectangular Fit. به شاخص‌ها و آستانه‌های به کار رفته جهت طبقه‌بندی تصاویر در جدول شماره ۳ اشاره شده است.

**جدول ۳: شاخص‌ها و پارامترهای به کار رفته جهت طبقه‌بندی تصاویر ماهواره‌ای**

شاخص	آستانه	عملگر فازی	طبقه
NDVI	بزرگتر از ۰/۱۷	And(min)	زمین کشاورزی
	۰/۴ – ۰/۶		
	کمتر از ۵ درصد		
Slope	بزرگتر از ۰/۳	Or(max)	باغ
	کمتر از ۵ درصد		
	۰/۴ – ۰/۶		
NDVI	کوچکتر از -۰/۱۷	Mean(arithm)	آب
SI۵	بزرگتر از ۲۰۰ و کوچکتر از ۳۰۰	And(min)	نمک جدید
SI۳	بزرگتر از ۱۲۰ و کوچکتر از ۱۴۰	Mean(geom)	پهنه‌های گلی - نمکی (خاک‌های نمکی)
	بزرگتر از ۰/۷۴		
	بزرگتر از ۱۴۰۰۰ و کوچکتر از ۱۶۰۰۰		
SI	بزرگتر از ۰/۲۹	Or(max)	نمک مرطوب
	بزرگتر از ۱۳۰		
BI	فیلتر نمک		
SI ۱	جدید		

در طبقه‌بندی صورت گرفته منظور از نمک مرطوب مناطقی می‌باشد که در آنجا دریاچه پسروی کرده و نمک‌ها همراه با مقداری اندکی از آب دریاچه به صورت سطحی پوشیده شده‌اند و منظور از نمک جدید مناطقی می‌باشد که در آنجا دریاچه کاملاً پسروی کرده و نمک‌ها بدون اختلاط با آب می‌باشند.

آستانه‌های مورد استفاده در طبقه‌بندی تصاویر ماهواره‌ای، بر اساس اعداد متناظر با سگمنت‌های منطبق بر هر کلاس و مطابقت آنها با کاربری مورد نظر در تصویر ماهواره‌ای و واقعیت زمینی و مشخص کردن بهترین آستانه جهت طبقه‌بندی تصویر انتخاب گردیدند.

هیچ طبقه‌بندی تا زمانی که دقت آن مورد ارزیابی قرار نگرفته است تکمیل نیست و برای کسب اطمینان از نسبت صحت تصویر طبقه‌بندی شده دقت آن باید مورد ارزیابی قرار گیرد (Lillesand, ۲۰۰۱: ۲۱۰). دقت طبقه‌بندی بیانگر سطح اعتماد به تصویر طبقه‌بندی شده می‌باشد (Anderson, ۱۹۷۶: ۵). ارزیابی دقت طبقه‌بندی بر اساس مقایسه تصویر طبقه‌بندی شده با واقعیت زمینی صورت می‌گیرد، بنابراین در این مرحله از پژوهش برای کسب اطمینان از صحت طبقه‌بندی، طی عملیات میدانی به طور تصادفی نقاط کنترل با GPS از سطح منطقه برداشت گردید و بر اساس آن شاخص‌های دقت طبقه‌بندی محاسبه شدند. همانطور که در جدول شماره ۴ آورده شده است، دقت طبقه‌بندی تصاویر ماهواره‌ای با استفاده از دقت کلی طبقه‌بندی و ضریب کاپا محاسبه شده است.

جدول ۴: دقت طبقه‌بندی تصاویر ماهواره‌ای

دقت کلی (درصد)	ضریب کاپا	سنجدنه	ماهواره	سال	دقت کلی (درصد)	ضریب کاپا	سنجدنه	ماهواره	سال
۹۴/۸	۰/۹۳	TM	۵ لندست	۲۰۰۹	۹۰/۲	۰/۸۸	TM	۵ لندست	۱۹۸۴
۹۳/۹	۰/۹۲	TM	۵ لندست	۲۰۱۰	۹۱/۵	۰/۸۹	TM	۵ لندست	۱۹۹۰
۹۳/۴	۰/۹۳	TM	۵ لندست	۲۰۱۱	۹۲/۴	۰/۹۰	TM	۵ لندست	۱۹۹۵
۹۲/۵	۰/۹۱	ETM+	۷ لندست	۲۰۱۲	۹۰/۷	۰/۸۷	TM	۵ لندست	۱۹۹۸
۹۳/۲	۰/۹۲	OLI	۸ لندست	۲۰۱۳	۹۳/۶	۰/۹۲	TM	۵ لندست	۲۰۰۰
۹۳/۱	۰/۹۳	OLI	۸ لندست	۲۰۱۴	۹۲/۲	۰/۹۱	ETM+	۷ لندست	۲۰۰۲
۹۲/۵	۰/۹۱	OLI	۸ لندست	۲۰۱۵	۹۰/۵	۰/۹۰	ETM+	۷ لندست	۲۰۰۴
				۹۰/۶	۰/۸۸	ETM+	۷ لندست	۲۰۰۶	

یکی از روش‌ها به منظور پیش‌بینی تغییرات پوشش و کاربری زمین، روش زنجیره مارکوف می‌باشد، زنجیره مارکوف یکسری از مقادیر تصادفی است که احتمالات در یک فاصله زمانی به تعداد آن مقدار در زمان گذشته بستگی دارد. به صورت تئوری قسمت معینی از زمین ممکن است در هر زمان از یک گروه کاربری زمین به هر گروه دیگر تبدیل شود. تحلیل زنجیره مارکوف یک ابزار مفید برای مدل‌سازی تغییرات کاربری اراضی، مخصوصاً زمانی که تشریح تغییرات در چشم انداز مشکل باشد، به کار می‌رود (Benito et al, ۲۰۱۰). این عمل به وسیله ماتریس احتمالات انتقال و ماتریس مساحت‌های انتقال صورت می‌پذیرد. ماتریس احتمالات انتقال بیان کننده احتمالی است که هر پیکسل در کلاس مشخص بر طبق وضعیت پیشین خود، در طی دوره زمانی معین به کلاس‌های دیگر تبدیل شود، بیان ریاضیاتی ماتریس احتمالات انتقال به صورت رابطه شماره ۱ می‌باشد.

$$p = \begin{bmatrix} p_{..} & p_{.1} & \dots & p_{.m} \\ p_{1.} & p_{11} & \dots & p_{1m} \\ \vdots & \vdots & \ddots & \vdots \\ p_{n.} & p_{n1} & \dots & p_{nm} \end{bmatrix} \quad (1)$$

در ماتریس بالا،  $P_{ij}$  احتمال تبدیل  $i$  امین نوع کاربری به  $j$  امین نوع از حالت اولیه به حالت نهایی می‌باشد و  $n$  تعداد انواع کاربری‌های اراضی منطقه مورد مطالعه می‌باشد. البته  $P_{ij}$  باید شرایط زیر را داشته باشد:

$$\cdot \leq p_{ij} \leq 1 (i, j = 1, 2, 3, \dots, n)$$

$$\sum_{i=1}^n p_{ij} = 1 (i, j = 1, 2, 3, \dots, n)$$

و در نهایت پیش‌بینی مدل زنجیره مارکوف بر اساس رابطه شماره ۲ صورت می‌پذیرد:

$$P_{(n)} = P_{(n-1)} P_{ij} \quad (2)$$

که در این فرمول  $P(n)$  احتمال وضعیت هر کدام از کاربری‌ها در هر زمان و  $(1 - P(n))$  احتمال وضعیت اولیه هر کاربری می‌باشد و  $P_{ij}$  ماتریس مساحت‌های انتقال بیانگر کل مساحت‌های مورد انتظار برای تغییر در زمان بعدی می‌باشد.

$$A = (A_{ij}) = \begin{bmatrix} A_{11} & A_{12} & \dots & A_{1n} \\ A_{21} & A_{22} & \dots & A_{2n} \\ \vdots & \vdots & \ddots & \vdots \\ A_{n1} & A_{n2} & \dots & A_{nn} \end{bmatrix} \quad (3)$$

در این معادله  $A$  ماتریس مساحتی انتقال می‌باشد و  $A_{ij}$  مجموع مساحت‌های حاصل شده از وضعیت  $i$  ام به وضعیت  $j$  ام در طی سال‌های شروع تا هدف و  $n$  تعداد انواع کاربری‌ها می‌باشد (Yang et al, ۲۰۱۲).

یکی از عناصر فضایی بنیادی که زمینه دینامیک بسیاری از رخدادهای تغییر است، مجاورت می‌باشد، یعنی مناطقی تمایل بیشتری برای تغییر به یک کلاس دارند زمانی که آنها در نزدیکی مناطق موجود در همان کلاس باشند (Schatten, ۱۹۹۹). CA، یک سیستم دینامیک گستته است که حالت هر سلول در زمان  $t+1$  به وسیله حالت سلول‌های همسایگی در زمان  $t$  و مطابق قوانین تبدیل از پیش تعریف شده، تعیین می‌گردد. CA به عنوان مدل تحلیلی با دینامیک‌های زمانی مکانی می‌تواند تغییرات را در فضای دو بعدی با قدرت تفکیک بالا شبیه‌سازی کند (Stevens et al, ۲۰۰۷). در میان مدل‌های دینامیکی، CA یکی از مؤثرترین روش‌ها در مدل‌سازی با توجه به انعطاف‌پذیری و سادگی در کاربرد و روابط نزدیک با داده‌های سنجش از دور و سامانه اطلاعات جغرافیایی، به شمار می‌آید (Torrens, ۲۰۰۰). تلفیق GIS و مدل CA برای شبیه‌سازی دینامیک تغییرات پوشش و کاربری زمین می‌تواند شبیه‌سازی‌های واقعی از الگوهای پوشش و کاربری زمین و ساختار مکانی آن، تولید کند (Gar-on Yeh and Li, ۲۰۰۳). CA در پیش‌بینی تغییرات از نظر مکانی به دلیل در نظر گرفتن وضعیت سلول‌های همسایه بهتر عمل می‌کند (Esatman, ۲۰۰۹).

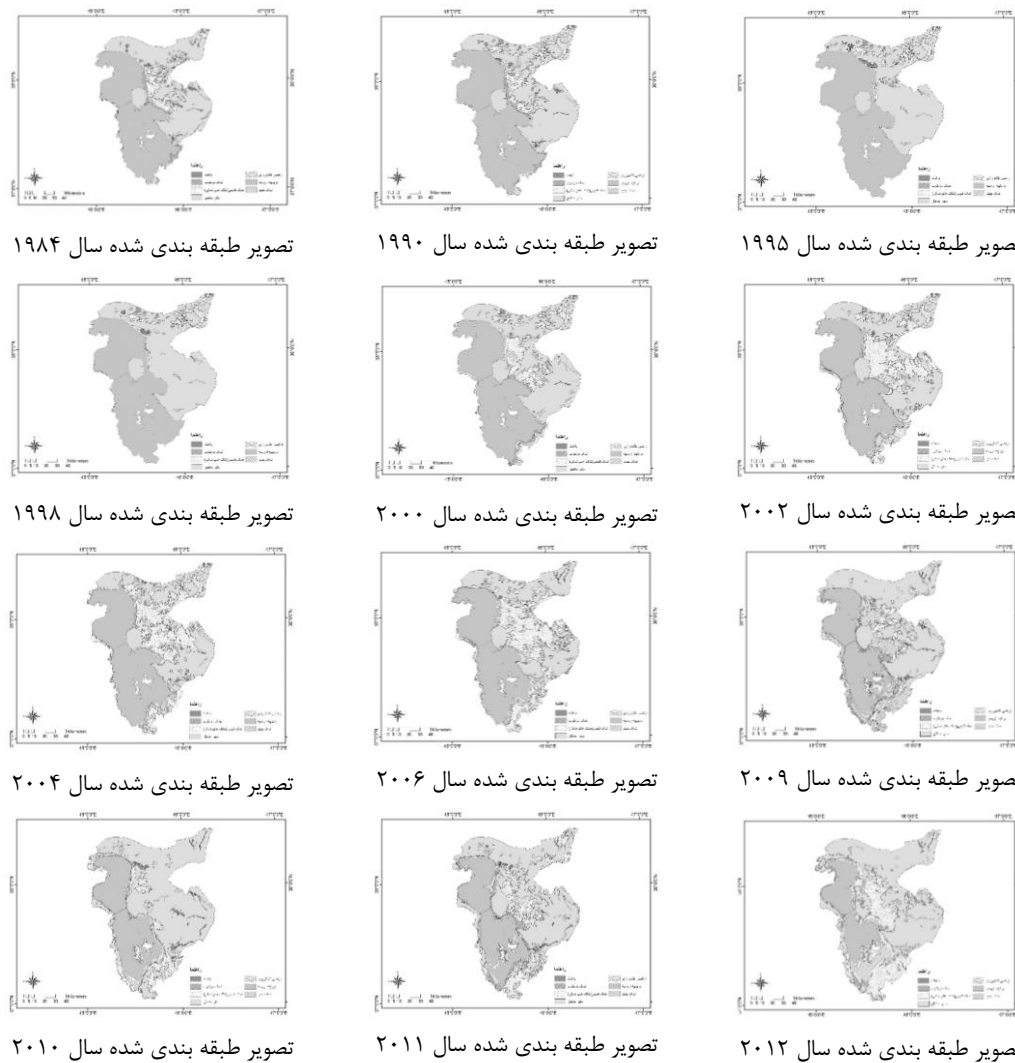
مدل CA-Markov روشی مناسب در مدل‌سازی دینامیک زمانی و مکانی تغییرات پوشش و کاربری زمین است و داده‌های سنجش از دور و سامانه اطلاعات جغرافیایی می‌توانند به طور موثری در آن مشارکت داده شوند (Li and Reylands, ۱۹۹۷). در مدل CA-Markov، پروسه زنجیره مارکوف تغییرات زمانی را میان کلاس‌پوشش/کاربری زمین بر اساس احتمالات تبدیل می‌کند، در حالی که تغییرات مکانی به وسیله قوانین محلی تعیین شده از طریق فیلتر مکانی CA کنترل می‌گردد (Esatman et al, ۲۰۰۵). برای پایش الگوهای مکانی پوشش و کاربری اراضی محدوده ساحل شرقی دریاچه ارومیه، یک مدل شبیه‌سازی تغییرات پوشش و کاربری زمین توسعه داده شد، که شامل سه مرحله می‌باشد:

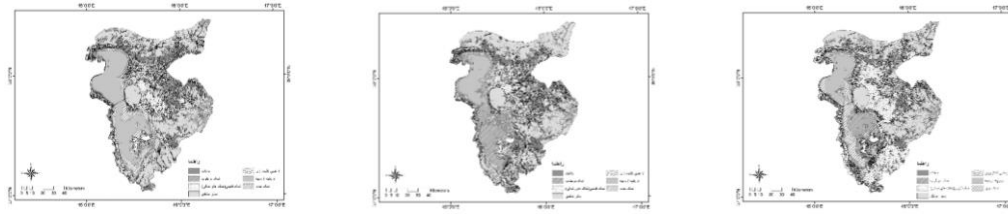
الف- محاسبه احتمالات تبدیل با استفاده از آنالیز زنجیره مارکوف، ب- محاسبه نقشه‌های شایستگی پوشش و کاربری زمین بر اساس ارزیابی چند معیاره، ج- اختصاص مکانی پوشش و کاربری زمین شبیه‌سازی شده بر اساس عملگر مکانی CA در مرحله دوم این مدل از روش ارزیابی چند معیاره (MCE) جهت ارزیابی شایستگی پوشش و کاربری زمین و تولید نقشه‌های شایستگی، استفاده خواهد شد. در روش MCE فاكتورها و محدودیتهای مکانی تأثیرگذار بر روی مدل در نظر گرفته می‌شود. سپس تحلیل چند معیاره با مشارکت محدودیتهای فوق و فاكتورهای وزن‌دهی شده، اجرا می‌شود (Schneider and Pontius, ۲۰۰۱). در نهایت یک فیلتر CA جهت تغییر حالت سلول‌ها بر اساس همسایگی آن مورد استفاده قرار می‌گیرد. این فیلتر، یک فیلتر مجاورت  $5 \times 5$  می‌باشد (Jokar arsanjani, ۲۰۱۰).

در این پژوهش جهت ارزیابی نتایج مدل‌های پیش‌بینی تولید شده، از ضریب کاپا استفاده شده است. با توجه به نقشه پوشش/کاربری زمین به دست آمده از اجرای مدل برای سال ۲۰۱۵، کلاس‌های موجود در نقشه شبیه‌سازی شده، با کلاس‌های متناظر در نقشه پوشش/کاربری زمین مرجع در سال ۲۰۱۵ مقایسه می‌شوند و ضریب کاپا مدل استخراج می‌شود.

## شرح و تفسیر نتایج

نتایج نهایی پردازش تصاویر ماهواره‌ای نقشه‌های طبقه‌بندی شده از پوشش زمین و یا کاربری اراضی می‌باشد (شکل شماره ۳). برای این منظور پس از انجام طبقه‌بندی تصاویر ماهواره‌ای، لایه‌های طبقه‌بندی شده را به فرمت وکتور تبدیل کرده تا در محیط نرم‌افزار ArcGIS ۱۰.۳ مورد تجزیه و تحلیل قرار گیرند و روند تغییرات بررسی شود. نتایج تحقیق (جدول شماره ۵) نشان می‌دهد که مساحت در ریاچه ارومیه از ۴۹۰۴/۵۱ کیلومترمربع به ۶۷۶/۷۹ کیلومترمربع کاهش یافته است، مساحت اراضی کشاورزی از ۱۷۷/۷۲ کیلومترمربع به ۵۴۲/۳۷ کیلومترمربع افزایش یافته است، مساحت باغات از ۸۳/۷۱ کیلومترمربع به ۲۲۷/۲۸ کیلومترمربع افزایش یافته است، مساحت نمک‌های مرطوب از ۱۱۱/۸۹ کیلومترمربع به ۹۴۵ کیلومترمربع افزایش یافته است، مساحت پهنه‌های گلی-نمکی (خاک‌های نمکی) از ۸۵۹/۰۱ کیلومترمربع به ۲۹۸۶/۵ کیلومترمربع افزایش یافته و مساحت نمک‌های تازه تشکیل شده از ۱۷۱/۲۷ کیلومترمربع به ۹۲۱/۹۹ کیلومترمربع افزایش یافته است.





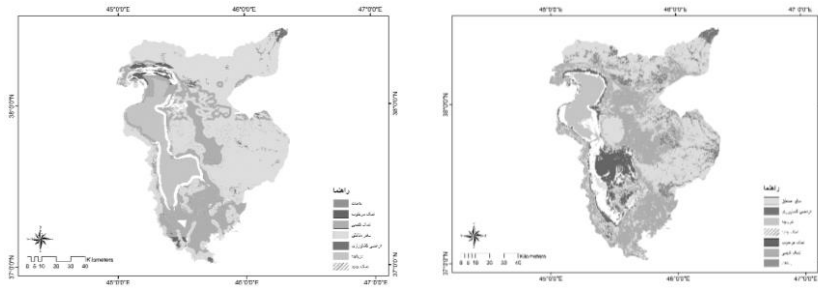
تصویر طبقه بندی شده سال ۲۰۱۳ تصویر طبقه بندی شده سال ۲۰۱۴ تصویر طبقه بندی شده سال ۲۰۱۵

شکل ۳: نقشه تغییرات محیطی ایجاد شده در ساحل شرقی دریاچه ارومیه

جدول ۵: مساحت تغییرات محیطی ایجاد شده در ساحل شرقی دریاچه ارومیه (کیلومترمربع)

ردیف کلی (ردیف)	فرزین کد	طبقات						تعداد سبک	جهواره	۳
		۱.	۲.	آرامی کشلوری	۳.	۴.	۵.			
۹۰/۲	۰/۸۸	۱۷۱/۲۷	۴۹۰۴/۵۱	۱۷۷/۷۲	۸۸۹/۰۱	۱۱۱/۸۹	۸۳/۷۱	TM	۵	۱۹۸۴
۹۱/۵	۰/۸۹	۹۶/۹۶	۴۹۹۰/۹۷	۱۷۱/۳۶	۹۱۹/۷۹	۱۰۹/۱۹	۶۷/۱۲	TM	۵	۱۹۹۰
۹۲/۴	۰/۹	۱۹/۵۲	۵۵۱۲/۹۹	۱۶۱/۸۶	۵۱۰/۲۷	۰/۱۶	۸۵/۰۸	TM	۵	۱۹۹۵
۹۰/۷	۰/۸۷	۳/۵۱	۵۳۹۳/۴۳	۱۲۸/۸۹	۴۸۱/۷۵	۴/۴۴	۴۵/۱۶	TM	۵	۱۹۹۸
۹۳/۶	۰/۹۲	۲۳۵/۶۴	۴۶۹۸/۵۳	۱۷۴/۱۳	۱۳۷۹/۹۲	۱۲۷/۶۸	۱۲/۶۲	TM	۵	۲۰۰۰
۹۲/۲	۰/۹۱	۷۷/۶۷	۴۲۰۴/۹۳	۱۱۲/۷۲	۲۶۱۳/۱۷	۷۰/۲۳	۱۸/۹۶	ETM +	۷	۲۰۰۲
۹۰/۵	۰/۹	۹۲/۰۶	۴۲۲۴/۷۵	۱۴۳/۷۶	۲۷۹۴/۳۵	۱۸/۶۶	۲۳/۵	ETM +	۷	۲۰۰۴
۹۰/۶	۰/۸۸	۲۱۲/۸۹	۳۹۶۲/۰۹	۱۲۷/۳۵	۲۷۱۷/۳۶	۰/۳۲	۳۳/۰۴	ETM +	۷	۲۰۰۶
۹۴/۸	۰/۹۳	۹۷۳/۳۷	۲۸۴۱/۶۲	۲۰۷/۸۶	۱۱۱۲/۱۹	۴۱۸/۷۷	۷۴/۵۲	TM	۵	۲۰۰۹
۹۲/۹	۰/۹۲	۲۶۰/۲۲	۲۸۶۰/۸۱	۱۸۱/۴	۱۲۰۹/۲۱	۷۸/۷۸	۱۱۸/۸۵	TM	۵	۲۰۱۰
۹۲/۴	۰/۹۳	۱۸۰/۰۵	۲۸۲۴/۰۳	۲۳۵/۲۹	۱۵۲۸/۶۹	۳۶/۶۱	۸۹/۶۲	TM	۵	۲۰۱۱
۹۲/۵	۰/۹۱	۷۲۲/۷۴	۱۸۷۴/۷۴	۱۸۴/۳۴	۲۶۷۶/۵۶	۲۳۸/۷۸	۲۳/۹۵	ETM +	۷	۲۰۱۲
۹۲/۲	۰/۹۲	۸۷۹/۸۶	۱۷۹۱/۳	۴۸۶/۱۴	۱۸۵۹/۶۰	۴۳۸/۸۲	۲۱۳/۶	OLI	۸	۲۰۱۳
۹۲/۱	۰/۹۳	۵۵۸/۵۹	۸۳۱/۴۶	۳۵۲/۸۹	۱۹۶۲/۴۶	۱۳۴۳۰/۰۵	۱۹۲/۹۲	OLI	۸	۲۰۱۴
۹۲/۵	۰/۹۱	۹۲۱/۹۹	۶۷۶/۷۹	۵۴۲/۳۷	۲۹۸۶/۵	۹۴۵	۲۲۷/۲۸	OLI	۸	۲۰۱۵

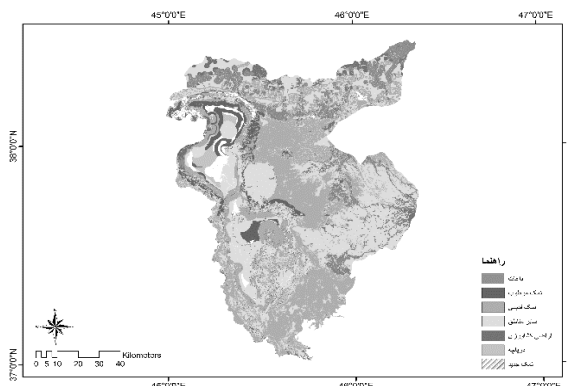
سه مجموعه داده‌ها، ۱) نقشه پوشش / کاربری اراضی سال ۲۰۱۲ به عنوان نقشه مبنای، ۲) نقشه‌های شایستگی سال ۲۰۱۲ و ۳) ماتریس مناطق تبدیل ۲۰۱۲-۲۰۰۹، با استفاده از عملگر مکانی CA برای پیش‌بینی نقشه کاربری اراضی سال ۲۰۱۵ در محیط نرم‌افزار IDRISI Selva ۱۷ با یکدیگر تلفیق شدند. ۳. بار تکرار برای مدل CA به دلیل فاصله زمانی ۲۰۱۲ و ۲۰۱۵ اختصاص داده شد. بدین ترتیب در پایان هر تکرار، نقشه پوشش و کاربری اراضی جدیدی (شکل شماره ۴) به وسیله همپوشانی تمامی نتایج به دست آمده از مراحل پیشین تولید گردید.

الف- نقشه مرجع سال ۲۰۱۵  
ب- نقشه شبیه سازی شده سال ۲۰۱۵

شکل ۴: نقشه پوشش/کاربری اراضی شبیه‌سازی شده در مقابل مرجع در سال ۲۰۱۵

با توجه به نقشه پوشش/کاربری به دست آمده از اجرای معدل برای سال ۲۰۱۵، کلاس‌های موجود در نقشه شبیه‌سازی شده، با کلاس‌های متناظر در نقشه پوشش/کاربری اراضی مرجع در سال ۲۰۱۵ نسبتاً مشابه‌اند. دقیق‌ترین مدل درصد حاصل گشته است. به طوری که خطا نسبی کاربری باغات برابر  $6/2$  درصد کاربری نمک مرتبط  $3/0\ 4$  درصد کاربری پهنه‌های گلی-نمکی (خاک‌های نمکی)  $7/8$  درصد کاربری سایر مناطق  $18/1$  درصد کاربری اراضی کشاورزی  $2/5$  درصد کاربری دریاچه ارومیه  $2/4$  درصد و کاربری نمک جدید  $0/99$  درصد به دست آمده است.

با استفاده از مدل CA-Markov پیش‌بینی تغییرات اراضی منطقه در سال ۲۰۲۰ انجام شد (شکل شماره ۵). در صورتی که سرعت تغییرات کاربری همچون سال‌های گذشته باشد کاربری باغات از  $227/28$  کیلومتر مربع به  $638$  کیلومتر مربع افزایش خواهد یافت کلاس نمک مرتبط از  $945$  کیلومتر مربع به  $717$  کیلومتر مربع کاهش خواهد یافت کلاس پهنه‌های گلی-نمکی (خاک‌های نمکی) از  $2986/5$  کیلومتر مربع به  $4127$  کیلومتر مربع افزایش خواهد یافت کلاس سایر مناطق از  $4892/07$  کیلومتر مربع به  $4585$  کیلومتر مربع کاهش خواهد یافت کاربری اراضی کشاورزی از  $542/37$  کیلومتر مربع به  $644$  افزایش خواهد یافت کلاس دریاچه ارومیه از  $676/79$  کیلومتر مربع به  $118$  کیلومتر مربع کاهش خواهد یافت و کلاس نمک جدید از  $921/99$  کیلومتر مربع به  $363$  کیلومتر مربع کاهش خواهد یافت.



شکل ۵: نقشه شبیه‌سازی شده پوشش/کاربری منطقه مورد مطالعه در سال ۲۰۲۰

در جدول شماره ۶ وضعیت هر یک از شهرستان‌ها و دهستان‌ها از لحاظ سطح باغات، اراضی کشاورزی، نمک جدید، نمک مرتبط و پهنه‌های گلی-نمکی (خاک‌های نمکی) در سال ۲۰۱۵ و ۲۰۲۰ بررسی شده است.

جدول ۶: بررسی وضعیت محیطی شهرستان‌ها و دهستان‌ها در سال ۲۰۱۵ و ۲۰۲۰ میلادی (مساحت بر حسب کیلومترمربع)

درصد تغییرات							۲۰۱۵ میلادی							۲۰۲۰ میلادی							
نام (و روستا)	تعداد روستا	ساختار	کشاورزی	آرضی	باغات	گلزاری	گلزاری	گلزاری	گلزاری	گلزاری	گلزاری	گلزاری	گلزاری	گلزاری	گلزاری	گلزاری	گلزاری	گلزاری	گلزاری	گلزاری	گلزاری
شبستر (شهرستان)	۸۱	۷	۴	۲۷۶	۷	۸۱	۶۱	۱۶۷	۰	۰	۰	۰	۰	۰	۰	۰	۰	۰	۰	۰	۰
چهرگان (دهستان)	۷	۷	۱۶	۱۳	۰	۰	۰	۰	۰	۰	۰	۰	۰	۰	۰	۰	۰	۰	۰	۰	۰
گونی غربی (دهستان)	۹	۳	۴۹	۵۷	۰	۰	۰	۰	۰	۰	۰	۰	۰	۰	۰	۰	۰	۰	۰	۰	۰
گونی مرکزی (دهستان)	۷	۶	۲۷	۰	۰	۰	۰	۰	۰	۰	۰	۰	۰	۰	۰	۰	۰	۰	۰	۰	۰
گونی شرقی (دهستان)	۶	۶	۲۲	۰	۰	۰	۰	۰	۰	۰	۰	۰	۰	۰	۰	۰	۰	۰	۰	۰	۰
سپس (دهستان)	۱۰	۶	۳۶	۶۳	۰	۰	۰	۰	۰	۰	۰	۰	۰	۰	۰	۰	۰	۰	۰	۰	۰
میشو جنوبی (دهستان)	۱۰	۱۰	۲۲	۴۶	۰	۰	۰	۰	۰	۰	۰	۰	۰	۰	۰	۰	۰	۰	۰	۰	۰
چله خانه (دهستان)	۱۲	۰	۱۰	۱۱۰	۰	۰	۰	۰	۰	۰	۰	۰	۰	۰	۰	۰	۰	۰	۰	۰	۰
رودقات (دهستان)	۲۰	۷	۸۵	۳۱	۰	۰	۰	۰	۰	۰	۰	۰	۰	۰	۰	۰	۰	۰	۰	۰	۰
اسکو (شهرستان)	۴۷	۲	۸۸	۰	۰	۰	۰	۰	۰	۰	۰	۰	۰	۰	۰	۰	۰	۰	۰	۰	۰
جزیره (دهستان)	۷	۷	۴	۳	۰	۰	۰	۰	۰	۰	۰	۰	۰	۰	۰	۰	۰	۰	۰	۰	۰
شورکات جنوبی (دهستان)	۱۷	۶	۳۶	۰	۰	۰	۰	۰	۰	۰	۰	۰	۰	۰	۰	۰	۰	۰	۰	۰	۰
باویل (دهستان)	۶	۶	۰	۰	۰	۰	۰	۰	۰	۰	۰	۰	۰	۰	۰	۰	۰	۰	۰	۰	۰
گنبر (دهستان)	۱۱	۵	۲۴	۰	۰	۰	۰	۰	۰	۰	۰	۰	۰	۰	۰	۰	۰	۰	۰	۰	۰
سهند (دهستان)	۶	۳	۲۲	۰	۰	۰	۰	۰	۰	۰	۰	۰	۰	۰	۰	۰	۰	۰	۰	۰	۰
آذرشهر (شهرستان)	۴۷	۶	۴۷	۰	۰	۰	۰	۰	۰	۰	۰	۰	۰	۰	۰	۰	۰	۰	۰	۰	۰
تیمورلو (دهستان)	۴	۴	۶	۰	۰	۰	۰	۰	۰	۰	۰	۰	۰	۰	۰	۰	۰	۰	۰	۰	۰
شهرک (دهستان)	۲	۱	۱۱	۰	۰	۰	۰	۰	۰	۰	۰	۰	۰	۰	۰	۰	۰	۰	۰	۰	۰
قاضی جهان (دهستان)	۴	۱	۱	۱۱	۰	۰	۰	۰	۰	۰	۰	۰	۰	۰	۰	۰	۰	۰	۰	۰	۰
ینگجه (دهستان)	۱۰	۳	۶	۰	۰	۰	۰	۰	۰	۰	۰	۰	۰	۰	۰	۰	۰	۰	۰	۰	۰
قبله داعی (دهستان)	۱۲	۲	۷	۰	۰	۰	۰	۰	۰	۰	۰	۰	۰	۰	۰	۰	۰	۰	۰	۰	۰
شیرامین (دهستان)	۹	۹	۱۱	۰	۰	۰	۰	۰	۰	۰	۰	۰	۰	۰	۰	۰	۰	۰	۰	۰	۰
عجب شیر (شهرستان)	۴۹	۹	۶۶	۰	۰	۰	۰	۰	۰	۰	۰	۰	۰	۰	۰	۰	۰	۰	۰	۰	۰
دیزج رود غربی (دهستان)	۱۹	۸	۱۳	۰	۰	۰	۰	۰	۰	۰	۰	۰	۰	۰	۰	۰	۰	۰	۰	۰	۰
دیزج رود شرقی (دهستان)	۱۵	۳	۸	۰	۰	۰	۰	۰	۰	۰	۰	۰	۰	۰	۰	۰	۰	۰	۰	۰	۰
کوهستان (دهستان)	۸	۶	۲۳	۰	۰	۰	۰	۰	۰	۰	۰	۰	۰	۰	۰	۰	۰	۰	۰	۰	۰
حضرلو (دهستان)	۷	۷	۱۳	۰	۰	۰	۰	۰	۰	۰	۰	۰	۰	۰	۰	۰	۰	۰	۰	۰	۰

بر این اساس بیشترین افزایش در باغات در روستاهای شهرستان شبستر با  $13/4$  درصد افزایش رخ خواهد داد، بیشترین میزان افزایش اراضی کشاورزی نیز در روستاهای شهرستان شبستر با  $2/7$  درصد افزایش رخ خواهد داد، بیشترین نمک جدید نیز در روستاهای شهرستان شبستر با  $69/0$  درصد افزایش رخ خواهد داد، بیشترین میزان در افزایش نمک مرتبط نیز در روستاهای شهرستان اسکو با  $7/0$  درصد افزایش رخ خواهد داد و بیشترین میزان در افزایش پهنه‌های گلی‌نمکی (حاک‌های نمکی) نیز در روستاهای شهرستان شبستر با  $6/10$  درصد افزایش رخ خواهد داد در نتیجه شهرستان شبستر علی‌رغم افزایش باغات و زمین‌های کشاورزی با افزایش زمین‌های نمکی نیز رو به رو خواهد شد. در میان دهستان‌های منطقه بیشترین میزان افزایش باغات در دهستان رودقات شهرستان شبستر با  $9/33$  درصد افزایش رخ خواهد داد، بیشترین افزایش اراضی کشاورزی در دهستان چله‌خانه شهرستان شبستر با  $3/12$  درصد افزایش رخ خواهد داد، بیشترین افزایش در نمک جدید در دهستان چله‌خانه شهرستان شبستر با  $7/44$  درصد افزایش رخ خواهد داد، بیشترین افزایش در نمک در دهستان شهرک شهرستان آذرشهر با  $6/30$  درصد افزایش رخ خواهد داد و بیشترین میزان در افزایش پهنه‌های گلی‌نمکی (حاک‌های نمکی) در دهستان سیس شهرستان شبستر با  $8/22$  درصد افزایش رخ خواهد داد.

### نتیجه گیری

در این مطالعه، تغییرات سطح دریاچه ارومیه و کاربری‌های ساحل شرقی آن که شامل شهرستان‌های شبستر، اسکو، آذرشهر و عجب‌شیر می‌باشد طی بازه زمانی  $84/19$  تا  $15/20$  میلادی با استفاده از تصاویر ماهواره‌ای لندست و تکنیک‌های پردازش شیء گرای تصاویر ماهواره‌ای بررسی گردید. نتایج پردازش تصاویر ماهواره‌ای و بررسی دقیق طبقه‌بندی نشان‌دهنده دقت مناسب تکنیک‌های شیء گرای پردازش تصاویر ماهواره‌ای در طبقه‌بندی کاربری اراضی می‌باشد. نتایج نشان‌دهنده افزایش سطح باغات، نمک‌های مرتبط، پهنه‌های گلی‌نمکی (حاک‌های نمکی)، اراضی کشاورزی، نمک جدید و کاهش مساحت دریاچه ارومیه طی بازه مورد مطالعه ( $84/19$  تا  $15/20$  میلادی) می‌باشد که نشان‌دهنده وضعیت نابسامان زیست‌محیطی در سطح منطقه می‌باشد. البته این روند در همه کاربری‌ها و سال‌های مختلف به صورت خطی نمی‌باشد بلکه در بعضی موارد نوساناتی داشته است ولی روند کلی تغییرات اینگونه می‌باشد، البته این تغییرات در تمامی ساحل شرقی و شامل هر چهار شهرستان مورد مطالعه می‌باشد به طوری که با پسروی دریاچه ارومیه در سال‌های اخیر به پوشش‌های نمکی مختلف در حاشیه شرقی دریاچه افزوده شده است و با فاصله گرفتن از پوشش‌های نمکی، بر پوشش‌های گیاهی اعم از باغات و اراضی کشاورزی افزوده شده است، افزایش پوشش‌های گیاهی از طرفی دارای جنبه مثبت می‌باشد و در صورت استفاده کشاورزان و بغدادران از روش‌های مکانیزه آبیاری می‌تواند از گسترش اراضی نمکی و ریزگردهای حاصل از آن جلوگیری کند ولی در صورت عدم استفاده از روش‌های مکانیزه و استفاده از منابع آب زیرزمینی و سطحی به صورت نامتعارف، خود عاملی خواهد شد در جهت پسروی بیشتر دریاچه ارومیه و گسترش زمین‌های نمکی. در ادامه با استفاده از مدل زنجیره مارکوف که یک ابزار مفید برای مدل‌سازی تغییرات کاربری اراضی می‌باشد به پیش‌بینی شرایط آتی منطقه از لحاظ تغییرات کاربری‌های مختلف پرداخته شد و شرایط منطقه برای سال  $2020$  میلادی مدل‌سازی گردید. این مدل شامل سه مرحله: ۱- محاسبه احتمالات تبدیل با استفاده از آنالیز زنجیره مارکوف ۲- محاسبه نقشه‌های شایستگی پوشش و کاربری زمین بر اساس ارزیابی

چند معیاره ۳- اختصاص مکانی پوشش و کاربری زمین شبیه‌سازی شده بر اساس عملگر مکانی CA می‌باشد. این مدل بر اساس تغییرات صورت گرفته در سال‌های گذشته و بررسی تمامی سال‌ها و کاربری‌ها به محاسبه احتمال تغییرات در آینده و تخصیص مکانی این تغییرات می‌پردازد و صرفاً روند کلی تغییرات را در نظر نمی‌گیرد بلکه روند تمامی سال‌ها را در نظر گرفته و ممکن است یک کاربری علی‌رغم کاهش طی روند کلی، در آینده دچار افزایش گردد. نتایج مدل زنجیره مارکوف نشان می‌دهد با توجه به روند تغییرات سال‌های گذشته و محاسبه احتمالات تغییرات، در سال ۲۰۲۰ کاربری باغات از ۲۲۷/۲۸ کیلومتر مربع به ۶۳۸ کیلومتر مربع افزایش خواهد یافت، کلاس نمک مرتبط از ۹۴۵ کیلومتر مربع به ۷۱۷ کیلومتر مربع کاهش خواهد یافت، کلاس پهنه‌های گلی-نمکی (خاک‌های نمکی) از ۲۹۸۶/۵ کیلومتر مربع به ۴۱۲۷ کیلومتر مربع افزایش خواهد یافت، کلاس سایر مناطق از ۴۸۹۲/۰۷ کیلومتر مربع به ۴۵۸۵ کیلومتر مربع کاهش خواهد یافت، کاربری اراضی کشاورزی از ۵۴۲/۳۷ کیلومتر مربع به ۶۴۴ افزایش خواهد یافت، کلاس دریاچه ارومیه از ۶۷۶/۷۹ کیلومتر مربع به ۱۱۸ کیلومتر مربع کاهش خواهد یافت و کلاس نمک جدید از ۹۲۱/۹۹ کیلومتر مربع به ۳۶۳ کیلومتر مربع کاهش خواهد یافت. در ادامه با مدل‌سازی این تاثیرات بر روستاهای ساحل شرقی دریاچه مشخص گردید در سال ۲۰۲۰ بیشترین افزایش در باغات در روستاهای شهرستان شبستر با ۱۳/۴ درصد افزایش، بیشترین میزان افزایش اراضی کشاورزی نیز در روستاهای شهرستان شبستر با ۲/۷ درصد افزایش، بیشترین نمک جدید نیز در روستاهای شهرستان شبستر با ۰/۶۹ درصد افزایش، بیشترین میزان در افزایش نمک مرتبط نیز در روستاهای شهرستان اسکو با ۰/۷ درصد افزایش و بیشترین میزان در افزایش پهنه‌های گلی-نمکی (خاک‌های نمکی) نیز در روستاهای شهرستان شبستر با ۱۰/۶ درصد افزایش رخ خواهد داد. به طور یقین، پردازش تصاویر ماهواره‌ای با قدرت تفکیک مکانی بالا مانند: SPOT و Sentinel و انتقال لایه‌های اطلاعاتی به محیط سیستم اطلاعات جغرافیایی، همراه با پایش به هنگام و دقیق تغییرات پارامترهای محیطی-اقلیمی دریاچه ارومیه به منظور حفظ این مجموعه آبی به عنوان یک میراث طبیعی با ارزش ضرورتی اجتناب ناپذیر و پژوهشی در سطح ملی تلقی خواهد شد.

## منابع

- اکبری‌مهرین، مهدی و جلال کرمی. ۱۳۹۲. بررسی تغییرات سطح دریاچه ارومیه با استفاده از شبکه‌های عصبی مصنوعی. سومین کنفرانس برنامه‌ریزی و مدیریت محیط زیست، دانشگاه تهران، ۲۶۳-۲۵۶.
- آل شیخ، علی اصغر؛ عباس علی‌محمدی و علی قربانعلی. ۱۳۸۴. پایش خطوط ساحلی دریاچه ارومیه با استفاده از سنجش از دور. نشریه علوم جغرافیایی، ۴: ۲۵-۹.
- پوراصغر، فرناز؛ امیرشاھرخ حسنعلیزاده؛ یونس اکبرزاده و مجید سلطانی. ۱۳۹۱. بررسی انتشار ذرات نمک به محیط پیرامون در اثرخشک شدن دریاچه ارومیه. همايش ملی جريان و آلوگری هو، موسسه آب دانشگاه تهران، ۱۳۷-۱۲۹.
- رسولی، علی‌اکبر و شیرزاد عباسیان. ۱۳۸۶. تحلیل مقدماتی سری‌های زمانی تراز سطح آب دریاچه ارومیه. نشریه جغرافیا و برنامه‌ریزی، ۲۸: ۱۶۵-۱۳۷.

- رسولی، علی‌اکبر. ۱۳۸۷. اصول سنجش از دور کاربردی با تأکید بر پردازش تصاویر ماهواره‌ای، چاپ اول. دانشگاه تبریز، تبریز.
- رسولی، علی‌اکبر؛ شیرزاد عباسیان و سعید جهانبخش. ۱۳۸۷. پایش نوسانهای سطح آب دریاچه ارومیه با پردازش تصاویر ماهواره‌ای چند سنجنده‌ای و چند زمانه‌ای. *فصلنامه مدرس علوم انسانی*، ۲: ۵۳-۷۱.
- زمانی‌اکبری، اصغر و سعید ملکی. ۱۳۸۹. ارزیابی تغییرات خط ساحلی دریاچه ارومیه طی دوره ۱۹۸۹-۲۰۰۵ با استفاده از داده‌های RS و GIS. *همایش ملی ژئوماتیک ۱۳۱۹*، سازمان نقشه‌برداری کشور، ۲۴۲-۲۵۰.
- شایان، سیاوش و مهدی جنتی. ۱۳۸۶. شناسنایی نوسانات مرز پیرامونی و ترسیم نقشه پراکنش مواد معلق دریاچه ارومیه با استفاده از تصاویر ماهواره‌ای سنجنده‌های LISSIII, TM&ETM. *نشریه پژوهش‌های جغرافیایی*، ۶۲: ۲۵-۳۹.
- ضیائیان فیروزآبادی، پرویز؛ خدیجه کرمی و پرستو دارویی. ۱۳۹۳. ارزیابی تغییرات جنوب شرق دریاچه ارومیه در دوره‌های زمانی ۱۹۸۴ و ۲۰۰۴ با استفاده GIS. *ولین همایش ملی محیط زیست*، دانشگاه پیام نور واحد دهاقان، ۹۰-۹۸.
- علوی‌بناء، سید‌کاظم. ۱۳۹۰. اصول سنجش از دور نوین و تفسیر تصاویر ماهواره‌ای و عکس‌های هوایی، چاپ دوم. دانشگاه تهران، تهران.
- فیضی‌زاده، بختیار. ۱۳۸۶. مقایسه روش‌های پیکسل پایه و شیء گرا در تهیه نقشه‌های کاربری اراضی، پایان نامه کارشناسی ارشد. دانشگاه تبریز.
- فیضی‌زاده، بختیار؛ محمدحسین رضایی مقدم؛ مجید رضایی‌بنفسه و حسین نظم فر. ۱۳۸۹. طبقه‌بندی پوشش اراضی / کاربری اراضی بر اساس تکنیک شیء گرا و تصاویر ماهواره‌ای مطالعه موردي استان آذربایجان غربی. *پژوهش‌های آبخیزداری*، ۸۷: ۳۲-۱۹.
- محرمی، میثم. ۱۳۹۵. مدل‌سازی تاثیرات پسروی دریاچه ارومیه بر روستاهای ساحل شرقی با پردازش شیء گرای تصاویر ماهواره‌ای، پایان نامه کارشناسی ارشد. دانشگاه تبریز.
- Ale sheikh, A.A.; Ali, G.A. and Nahal, N. ۲۰۰۷. Coastline change detection using remote sensing. *international Journal of Environmental Science & Technology*, ۴: ۶۱-۶۶.
- Allbed, A.; Lalit, K. and Yousef, Y.A. ۲۰۱۴. Assessing soil salinity and vegetation indices derived from IKONOS high-spatial resolution imageries: Applications in a date palm dominated region. *Geoderma*, ۲۲۰-۲۲۱: ۱-۸.
- Anderson, J.R.; Ernest, H.; John, R. and Richard, W. ۱۹۷۶. *A Land Cover Classification System for Use with Remote Sensor Data*. United States Government Printing Office, Washington.
- Benito, P.R.; Cuevas, J.A.; Delaparra, R.B.; Prieto, F.; Delbarrio, J.M.G. and Zavala, M.A. ۲۰۱۰. Land use change in a Mediterranean metropolitan region and its periphery: assessment of conservation policies through CORINE Land Cover data and Markov models. *Forest Systems*, ۱۹: ۳۱۵-۳۲۸.

- Chen, M.; Wei, S.; Li, L.; Chao, Zh.; Anzhi, Y. and Haixia, L. ۲۰۰۹. Comparison of pixel-based and object-oriented knowledge- based classification methods using spotΔ imagery. *wseas transactions on information science and applications*, ۶: ۴۷۷- ۴۸۹.
- Eastman, J.R. ۲۰۰۹. IDRISI Selva Manual Accessed in IDRISI ۱۷. Clark University, Worcester.
- Eastman, J.R.; Van fossen, M.E. and Solarzano, L.A. ۲۰۰۵. Transition Potential Modeling for Land-Cover Change in GIS, Spatial Analysis and Modeling. ESRI Press, California.
- Feizizadeh, B.; Majid, Sh.R.; Piotr, J. and Thomas, B. ۲۰۱۴. A GIS-based extended fuzzy multi-criteria evaluation for landslide susceptibility mapping. *Computers & Geosciences*, ۷۳: ۲۰۸-۲۲۱.
- Gar-On Yeh, A. and Xia, L. ۲۰۰۳. Simulation of development alternatives using neural networks, cellular automata, and GIS for urban planning. *Photogrammetric Engineering and Remote Sensing*, ۶۹: ۱۰۴۳-۱۰۵۲.
- Hathout, S. ۲۰۰۲. The use of GIS for monitoring and predicting urban growth in East and West St Paul, Winnipeg, Manitoba, Canada. *Journal of Environmental Management*, 66: ۲۲۹-۲۳۸.
- Huang, L. and Ling, N. ۲۰۰۸. Object-oriented classification of high resolution satellite image for better accuracy. Proceedings of the ۷th International Symposium on Spatial Accuracy Assessment in Natural Resources and Environmental Sciences, Shanghai, ۲۱۱-۲۱۸.
- Jokar arsanjani, J. ۲۰۱۲. Dynamic land use/cover change modeling: Geosimulation and multiagent-based modeling, Springer Theses, Springer-Verlag Berlin Heidelberg.
- Kamusoko, C.; Masamu, A.; Bongo, Adi. and Munyaradzi, M. ۲۰۰۹. Rural Sustainability under Threat in Zimbabwe – Simulation of Future Land Use/cover Changes in the Markov- Cellular Automata Model, *Applied Geography*, ۲۹: ۴۳۵-۴۴۷.
- Li, H. and Reynolds, J.F. ۱۹۹۷. Modeling Effects of Spatial Pattern, Drought, and Grazing on Rates of Rangeland Degradation: A Combined Markov and Cellular Automaton Approach, Lewis Publishers, Florida.
- Lillesand, T.; Ralph, K. and Jonathan, Ch. ۲۰۰۱. Remote sensing and image interpretation, 5th Edition, Wiley Publication, Washington.
- Muller, M.R. and John, M. ۱۹۹۴. A Markov model of land use change dynamics in the Niagara Region Ontario Canada. *Landscape Ecology*, 9: ۱۵۱-۱۵۷.
- Peterson, L.K.; Bergen, K.M.; Brown, D.G.; Vashchuk, L. and Blam, Y. ۲۰۰۹. Forested land-cover patterns and trends over changing forest management eras in the Siberian Baikal region. *Forest Ecology and Management*, ۲۵۷: ۹۱۱-۹۲۲.
- Pontius JR, R.G. and Jeffrey, M. ۲۰۰۵. Comparison of the structure and accuracy of two land change models. *International Journal of Geographical Information Science*, 19: ۲۴۳-۲۶۵.

- Schatten, A. ۱۹۹۹. Cellular automata: Digital worlds. Retrieved February ۱۳, ۲۰۰۴, from [http://www.ifs.tuwien.ac.at/~aschatt/info/ca/ca\\_print.html](http://www.ifs.tuwien.ac.at/~aschatt/info/ca/ca_print.html).
- Schneider, L.C. and Robert Gilmore, P.J.R. ۲۰۰۱. Modeling land-use change in the Ipswich watershed Massachusetts USA Agriculture. *Ecosystems and Environment*, ۸۵: ۸۳-۹۴.
- Stevens, D.; Dragicevic, S. and Rothley, K. ۲۰۰۷. iCity: A GIS- CA modelling tool for urban planning and decision making. *Environmental Modelling & Software*, ۲۲: ۷۶۱-۷۷۳.
- Torrens, P.M. ۲۰۰۷. How Cellular Models of Urban Systems Work, University College London, London.
- Wassahua, Z. ۲۰۱۰. The Use of Markov Cellular Automata Technique for Predicting Forest Cover Change in Rokan Hulu Riau Province Indonesia, Master Thesis. Bogor Agricultural University.
- Yan, Gao. ۲۰۰۳. Pixel based and object oriented image analysis for coal fire research, Master Thesis. International institute for geo-information science and earth observation.
- Yang, X.; Xin-Qi, Zh. And Li-Na, L. ۲۰۱۲. A spatiotemporal model of land use change based on ant colony optimization Markov chain and cellular automata. *Ecological Modelling*, ۲۴۳: ۱۱–۱۹.